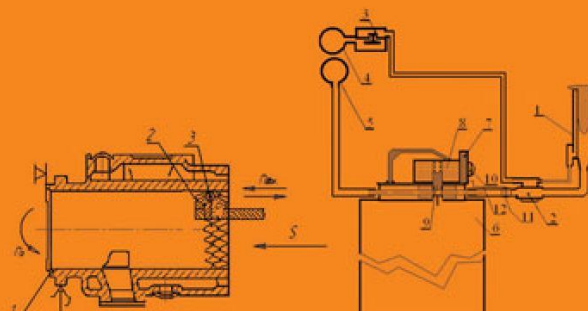
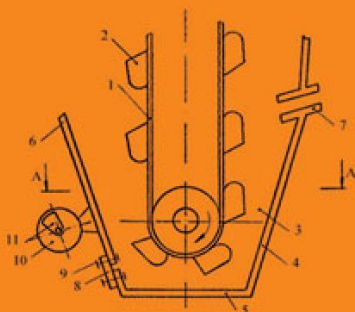
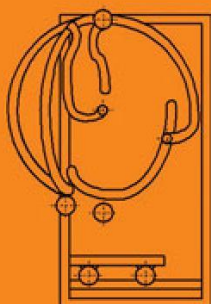


СОВЕРШЕНСТВОВАНИЕ ИНЖЕНЕРНО-ТЕХНИЧЕСКОГО ОБЕСПЕЧЕНИЯ ТЕХНОЛОГИЧЕСКИХ ПРОЦЕССОВ В АПК



материалы международной
научно-практической конференции



ФЕДЕРАЛЬНОЕ ГОСУДАРСТВЕННОЕ БЮДЖЕТНОЕ ОБРАЗОВАТЕЛЬНОЕ
УЧРЕЖДЕНИЕ ВЫСШЕГО ПРОФЕССИОНАЛЬНОГО ОБРАЗОВАНИЯ
«ОРЕНБУРГСКИЙ ГОСУДАРСТВЕННЫЙ АГРАРНЫЙ УНИВЕРСИТЕТ»

**СОВЕРШЕНСТВОВАНИЕ
ИНЖЕНЕРНО-ТЕХНИЧЕСКОГО
ОБЕСПЕЧЕНИЯ ТЕХНОЛОГИЧЕСКИХ
ПРОЦЕССОВ В АПК**

**МАТЕРИАЛЫ МЕЖДУНАРОДНОЙ
НАУЧНО-ПРАКТИЧЕСКОЙ КОНФЕРЕНЦИИ**

*Оренбург,
5–6 февраля 2013 г.*

Оренбург
Издательский центр ОГАУ
2013

УДК 631.3

ББК 40.7

С 56

Рекомендовано к изданию редакционно-издательским советом Оренбургского государственного аграрного университета (председатель совета – В.В. Каракулев).

Оргкомитет конференции:

Ю.А. Ушаков, Е.М. Асманкин, М.М. Константинов, И.К. Петина,
И.А. Рахимжанова, В.И. Чиндяскин, В.А. Шахов

С 56 Совершенствование инженерно-технического обеспечения технологических процессов в АПК: материалы международной научно-практической конференции / под ред. Ю.А. Ушакова. – Оренбург: Издательский центр ОГАУ, 2013. – 170 с.

ISBN 978-5-88838-815-0

В сборнике представлены материалы международной научно-практической конференции «Совершенствование инженерно-технического обеспечения технологических процессов в АПК», проведённой 5–6 февраля 2013 года.

Издание адресовано профессорско-преподавательскому составу, аспирантам и студентам вузов агроинженерного профиля, а также специалистам инженерно-технической службы и руководителям АПК.

УДК 631.3

ББК 40.7

ISBN 978-5-88838-815-0

© Издательский центр ОГАУ, 2013

3. Сысуев В.А. Новые малоэнергоёмкие технологии и технические средства производства и приготовления кормов // Техника и оборудование для села. 1998. № 5. С. 15–17.

4. Жуламанов К.Р., Кольцун М.М., Кудашев Г.Н., Коломин Н.В. // Методические рекомендации по щелеванию старовозрастных многолетних трав. Костанай, 1986. 15 с.

КИНЕМАТИКА РОТАЦИОННОГО РАБОЧЕГО ОРГАНА

*Амантаев М.А., магистр с-х. наук, Костанайский филиал ТОО «КазНИИМЭСХ»,
Гайфуллин Г.З., д-р техн. наук, профессор, Костанайский государственный университет
им. А. Байтурсынова, Курач А.А., канд. техн. наук,
Костанайский филиал ТОО «КазНИИМЭСХ»*

Рассмотрим кинематику движения ротационного дискового рабочего органа и составим его расчетную схему. Основная система координат $OXYZ$ выбрана таким образом, чтобы ось OX совпала с направлением поступательного движения рабочего органа. Ось OZ – вертикальна поверхности поля и прошла через нижнюю точку касания O рабочего органа с дном борозды. Ось OY лежит в поперечной плоскости параллельно поверхности поля, рисунок 1. Начало системы координат точка O совпадает с нижней точкой касания рабочего органа с дном борозды. Плоскость вращения рабочего органа отклонена от направления поступательного движения на угол β и от вертикали на угол α .

Во время работы любая точка лезвия ротационного дискового рабочего органа совершает криволинейное движение, траектория которого в координатной форме описывается общеизвестным уравнением, которое имеет вид:

$$\begin{cases} x = \frac{\theta \cdot R}{i \cdot \cos \beta} + R \cdot \cos \theta \cdot \cos \beta - (1 - \sin \theta) \cdot \sin \alpha \cdot \sin \beta; \\ y = R \cdot \cos \theta \cdot \sin \beta + R \cdot (1 - \sin \theta) \cdot \sin \alpha \cdot \cos \beta; \\ z = R \cdot (1 - \sin \theta) \cdot \cos \alpha, \end{cases} \quad (1)$$

где R – радиус дискового рабочего органа;

θ – угол поворота радиус-вектора OM рабочего органа от горизонтальной плоскости;

α – угол отклонения плоскости вращения рабочего органа от вертикали;

β – угол атаки рабочего органа;
 α – угол атаки рабочего органа;
 i – кинематический коэффициент, характеризующий проскальзывание рабочего органа относительно дна борозды, при этом $i > 0$.

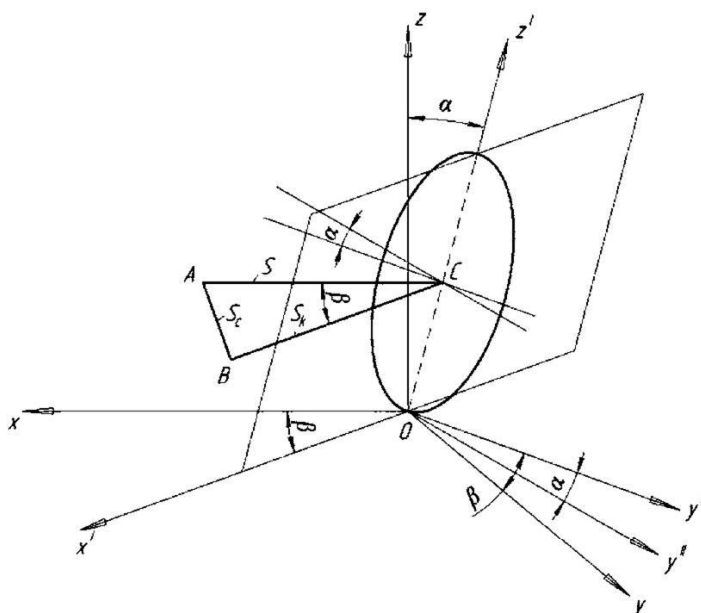


Рисунок 1 – Схема перемещения ротационного дискового рабочего органа в почве

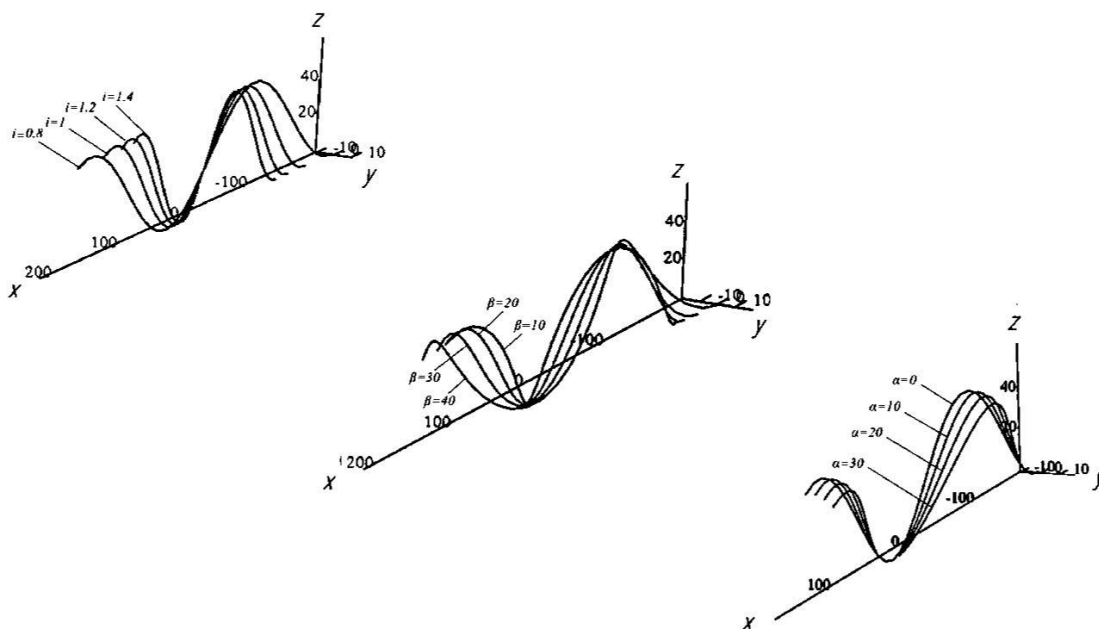


Рисунок 2 –Траектория движения точки лезвия ротационного дискового рабочего органа в трехмерном пространстве

На рисунке 2 представлены траектории движения точки лезвия ротационного дискового рабочего органа в трехмерном пространстве в зависимости от угла атаки α , угла отклонения от вертикали β и кинематического коэффициента i .

На рисунках 3–5 показаны проекции траектории движения точки M лезвия ротационного дискового рабочего органа за поворот на координатной плоскости в зависимости от i и углов β и α .

Из них видно, что с увеличением кинематического коэффициента длина траектории уменьшается, а ширина захвата рабочего органа остается без изменений. Рост угла атаки вызывает увеличение длины траектории и ширину захвата B рабочего органа. Увеличение угла отклонения от вертикали практически не оказывает значительного влияния на длину траекторий и ширину захвата рабочего органа.

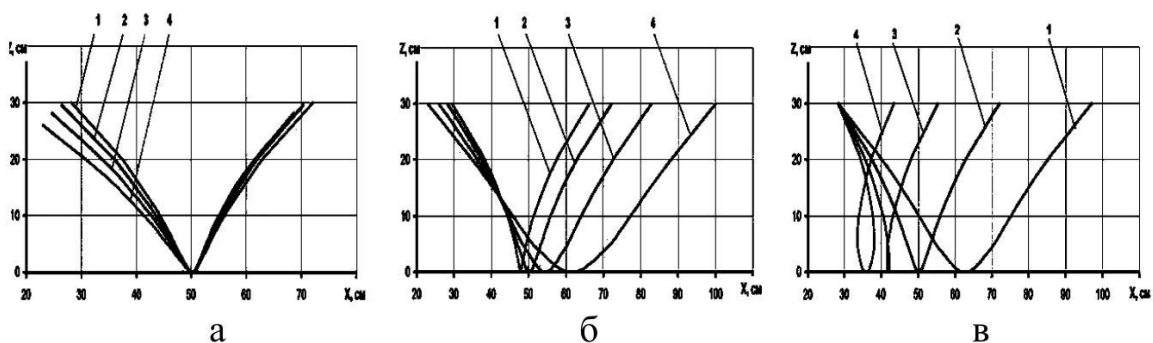


Рисунок 3 – Зависимости проекции движения точки лезвия ротационного дискового рабочего органа на координатной плоскости XOZ от α (а), β (б) и i (в)

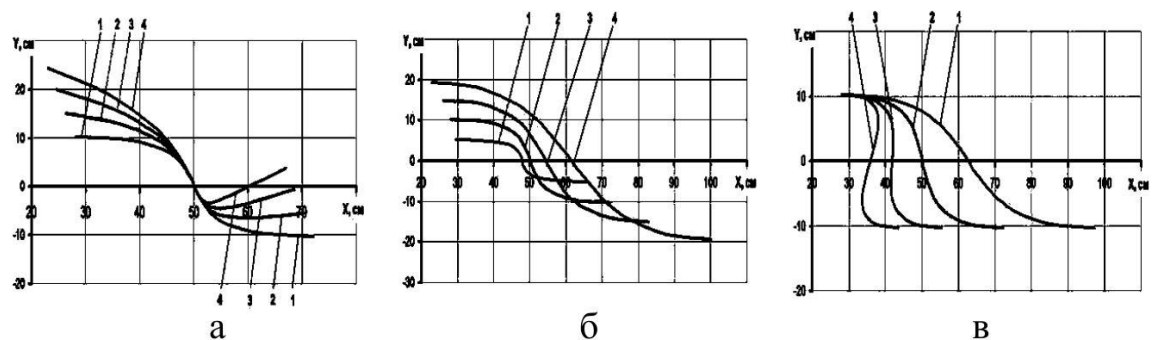


Рисунок 4 – Зависимости проекции движения точки лезвия ротационного дискового рабочего органа на координатной плоскости XOY от α (а), β (б) и i (в)

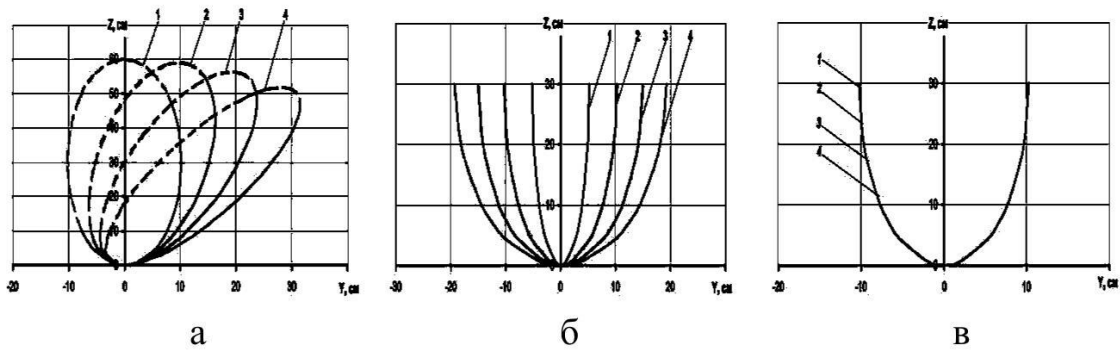


Рисунок 5 – Зависимости проекции движения точки лезвия ротационного дискового рабочего органа на координатной плоскости XOY от α (а), β (б) и i (в)

Определим характер движения точки лезвия ротационного дискового рабочего органа в горизонтальной плоскости, для этого найдем угол γ между осью OX и касательными к траектории в плоскости XOY в период нахождения точки M в почве, рисунок 6. Величина угла γ находится как

$$\gamma = \arctg \frac{-\sin \theta \cdot \sin \beta - \cos \theta \cdot \sin \alpha \cdot \cos \beta}{\frac{1}{i \cdot \cos \beta} - \sin \theta \cdot \cos \beta + \cos \theta \cdot \sin \alpha \cdot \sin \beta}, \text{ град.} \quad (2)$$

Проекция траектории движения точки лезвия ротационного дискового рабочего органа в плоскости XOY представляет кривую ABC , рисунок 6. Через точку B , соответствующую $\theta = 90^\circ$, под углом γ к оси OX проведем плоскость T перпендикулярно дну борозды, рисунок 6.

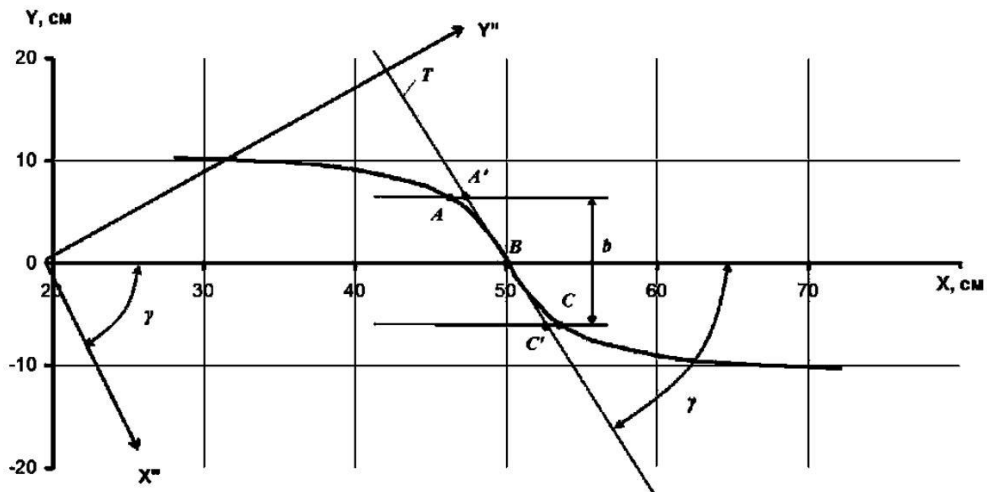


Рисунок 6 – Схема формирования дополнительной системы координат $O''Y''Z''$

Плоскость T пересекает борозду по точкам $A'BC'$. Поскольку линии ABC и $A'BC'$ близки, вместо траектории ABC будем рассматривать линию $A'BC'$ пересечения плоскости T и дна борозды. Для этого введем дополнительную систему координат $OX''Y''Z''$, получаемую путем поворота системы $OXYZ$ по часовой стрелке на угол γ вокруг оси OZ , рисунок 6.

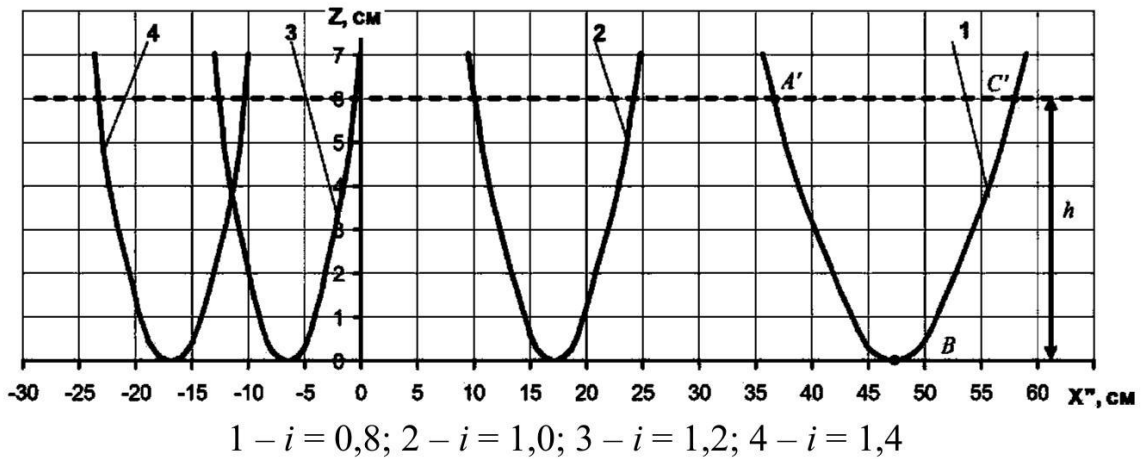
Преобразовав систему уравнений (1) в соответствии с преобразованиями систем координат, получим:

$$\left\{ \begin{array}{l} X'' = \left(\frac{\theta \cdot R}{i \cdot \cos \beta} + R \cdot \cos \theta \cdot \cos \beta - (1 - \sin \theta) \cdot \sin \alpha \cdot \sin \beta \right) \cdot \cos \gamma - \\ \quad - (R \cdot \cos \theta \cdot \sin \beta + R \cdot (1 - \sin \theta) \cdot \sin \alpha \cdot \cos \beta) \cdot \sin \gamma; \\ Y'' = \left(\frac{\theta \cdot R}{i \cdot \cos \beta} + R \cdot \cos \theta \cdot \cos \beta - (1 - \sin \theta) \cdot \sin \alpha \cdot \sin \beta \right) \cdot \sin \gamma + \\ \quad - (R \cdot \cos \theta \cdot \sin \beta + R \cdot (1 - \sin \theta) \cdot \sin \alpha \cdot \cos \beta) \cdot \cos \gamma; \\ Z'' = R \cdot (1 - \sin \theta) \cdot \cos \alpha. \end{array} \right. \quad (3)$$

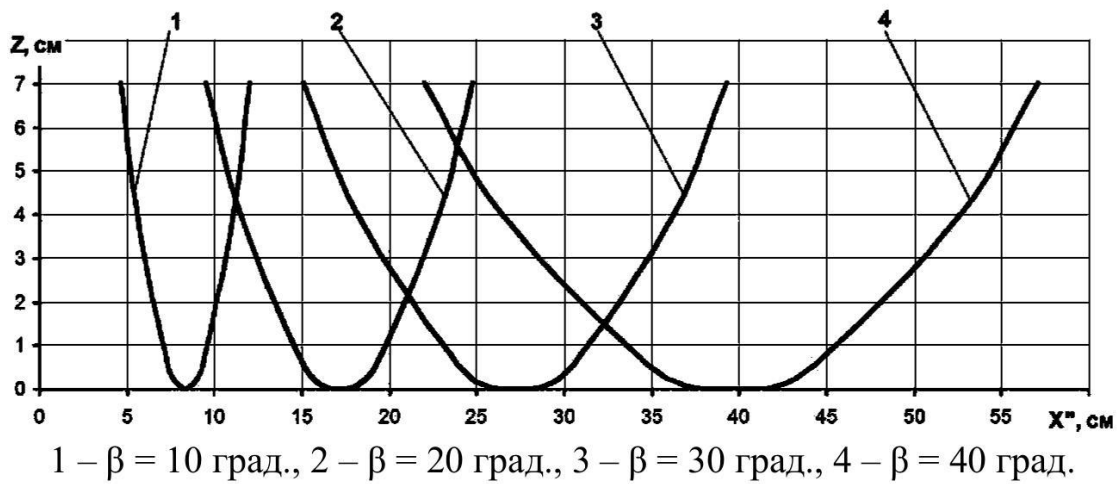
На рисунке 7 представлены линии пересечения плоскости T и дна борозды, образуемой точкой лезвия ротационного дискового рабочего органа. Они раскрывают характер движения рабочего органа в почве. Из них видно, что точка лезвия (элемент) диска движется в плоскости, перпендикулярной плоскости вращения рабочего органа, сначала заглубляясь от поверхности до глубины h (линия $A'B$), затем происходит выглубление от h до поверхности почвы (линия BC'). Аналогичным образом происходит движение любой точки лезвия (элементов) дискового рабочего органа в период нахождения в почве.

Из рисунков видно, что увеличение кинематического коэффициента i вызывает сокращение длины формируемого дна борозды, рост угла атаки β приводит к росту длины дна борозды, а увеличение угла отклонения от вертикали α приводит к изменениям характера заглубления и выглубления элемента ротационного рабочего органа.

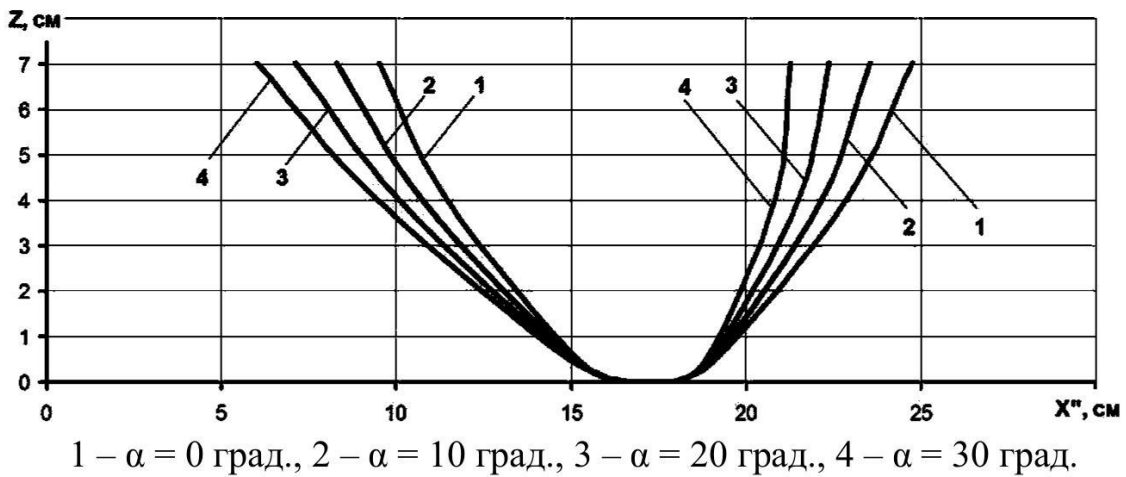
Таким образом, получены зависимости, позволяющие определять параметры траектории движения точек, лежащих на лезвии ротационного дискового рабочего органа, формы образуемого дна борозды в зависимости от угла атаки β , угла отклонения плоскости вращения рабочего органа от вертикали α , кинематического коэффициента i .



а



б



в

а - $\alpha = 0$ град., $\beta = 20$ град., б - $i = 1$, $\alpha = 0$ град., в - $i = 1$, $\beta = 20$ град.

Рис. 7 – Траектории движения точки лезвия ротационного дискового рабочего органа в координатной плоскости $X''OZ''$

СОДЕРЖАНИЕ

<i>В.Л. Астафьев</i> Эффективность работы фермерских хозяйств «пшеничного пояса» Австралии.....	3
<i>А.К. Курманов, Т.И. Исинтаев, А.Ж. Альменов</i> Мобильный станок для фиксации КРС	9
<i>Петько В.Г., Рязанов А.Б.</i> Экспериментальное исследование теплообменных процессов в водонапорных башнях Рожновского	15
<i>Е.М. Асманкин, М.Б. Фомин, И.А. Чуйков</i> Состояние и развитие альтернативных источников энергии для энергообеспечения автономных объектов сельскохозяйственного производства	20
<i>А.И. Дерепаскин, Ю.В. Полищук, Бинюков Ю.В., Крикало Е.Н.</i> Результаты полевых испытаний пневмомеханического измельчителя-разбрасывателя соломы	24
<i>Шахов В.А., Шошин А.А.</i> Испытание распределительной системы опрыскивателей сельскохозяйственных культур	29
<i>Щербаков Н.В., Ким С.А.</i> Определение качества заделки семян рабочими органами посевных машин.....	35
<i>О.С. Салыкова, Поздняков В.Д., Драницин Д.Ю.</i> Определение оптимальных режимных параметров ленточного заточного аппарата с оценкой качества заточки	37
<i>Поздняков В.Д., Ушаков Ю.А., Ротова В.А., Панин А.А.</i> Использование физических и математических моделей для исследования трудовой деятельности операторов- животноводов в нормальных и экстремальных условиях	43
<i>Лаптев Н.В.</i> Технологическое обоснование рабочего органа для щелевания многолетних трав.....	48
<i>Амантаев М.А., Гайфуллин Г.З., Курач А.А.</i> Кинематика ротационного рабочего органа	52
<i>Курманов А.К., Исинтаев Т.И., Исаков Е.Б.</i> Разработка устройства для раннего выявления мастита	58
<i>А.Н. Куваев</i> Влияние параметров распределительного устройства на качество распределения гранулированных удобрений	61

<i>Курач А.А., Семибаламут А.В., Деревяшкин А.П., Вологин В.Н.</i> Новое орудие для мелкой осенней обработки почвы ОЗС-13.....	66
<i>Ю.В. Полищук, А.И. Дерепаскин, Ю.В. Бинюков, Е.Н. Крикало, Н.В. Лаптев</i> Результаты предварительных испытаний опытного образца машины для уборки сена (МС-2,3).....	70
<i>Семибаламут А.В.</i> Влияние параметров и скорости движения катка для подповерхностного уплотнения почвы на агротехнические и силовые показатели	75
<i>Бобков С.И., Плохотенко М.А., Староконь С.И.</i> Анализ прогрессивных технологий возделывания сельскохозяйственных культур и их использование в зоне Северного Казахстана с учетом диверсификации посевных площадей.....	80
<i>Коляда В.С., Шахов В.А., Ракитянский А.А.</i> Обоснование метода восстановления поперечных планок подбарабаний зерноуборочных комбайнов фирмы «CLAAS»	85
<i>Петько В.Г., Петров А.С.</i> К обоснованию способа оптимизации загрузки ветроагрегата.....	90
<i>Чиндяскин В.И.</i> Совершенствование и перспективы развития децентрализованных сельских электрических сетей	96
<i>И.В. Яковлев, Лисаченко А.Н.</i> Методика оценки энергетических затрат на перекачивание колесного движителя по деформируемому основанию.....	102
<i>Панасюк О.А.</i> Исследование современных систем и устройств автоматизации сельских электрических сетей	107
<i>Учкин П.Г., Чернышев В.П.</i> Способы повышения ресурса цилиндра пускового двигателя ПД-10М.....	113
<i>Абдюкаева А.Ф.</i> Повышение надежности электрических машин путем регулирования качества электроэнергии.....	119
<i>Кислова Е.Ф., Дейберт К.А.</i> Экономический аспект применения светодиодного освещения в сельском хозяйстве и промышленности	121
<i>Урюпин С.Г., Денисов С.М.</i> Влияние вносимых в пневматический канал конструктивных элементов на процесс сортировки зерна.....	127
<i>Турчин В.С.</i> Ковшовый элеватор	131

<i>Поздняков В.Д., Ваньков А.В.</i> Эргономическое обоснование конструкции станка для чески пуха коз	132
<i>И.М. Затин</i> Методика обработки результатов измерений износа уплотнительного торца корпусов форсунок.....	137
<i>М.А. Абдуллин</i> Эффективное использование биогазовых установок в технологических процессах животноводства КРС Адамовского района.....	143
<i>Ушаков Ю.А., Дементьева И.Н.</i> Методика определения засоренности вакуумной магистрали	148
<i>Ушаков Ю.А., Терехов О.Н., Данилова Н.Г.</i> Обоснование конструктивного исполнения устройств для создания переменного расхода воздуха в вакуумных магистралях	151
<i>Глушков И.Н.</i> Использование валковой порционной жатки с устройством образования стерневых кулис для обеспечения снегозадержания и минимизация потерь зерна при уборке зерновых культур	155
<i>В.С. Стеновский</i> Стабилизации траектории движения МТА за счет конфигуративно- параметрических характеристик протектора колеса.....	160
<i>Черкасов А.А.</i> Перспектива развития новых методов использования машин в АПК.....	163

Научное издание

**СОВЕРШЕНСТВОВАНИЕ ИНЖЕНЕРНО-ТЕХНИЧЕСКОГО
ОБЕСПЕЧЕНИЯ ТЕХНОЛОГИЧЕСКИХ ПРОЦЕССОВ В АПК**

**Материалы международной
научно-практической конференции**

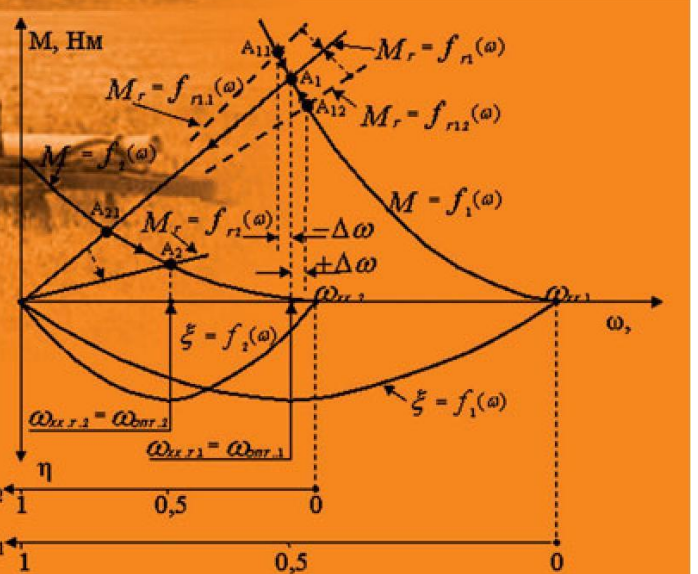
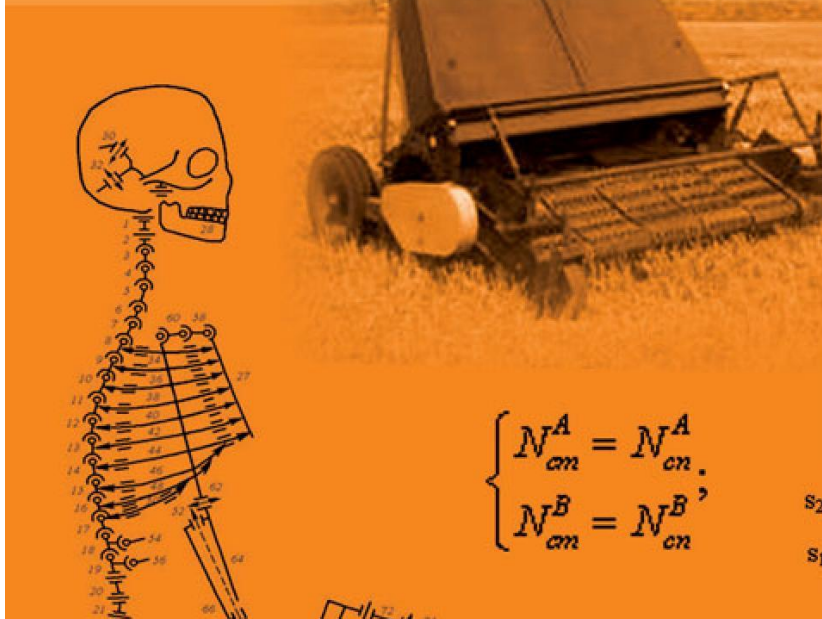
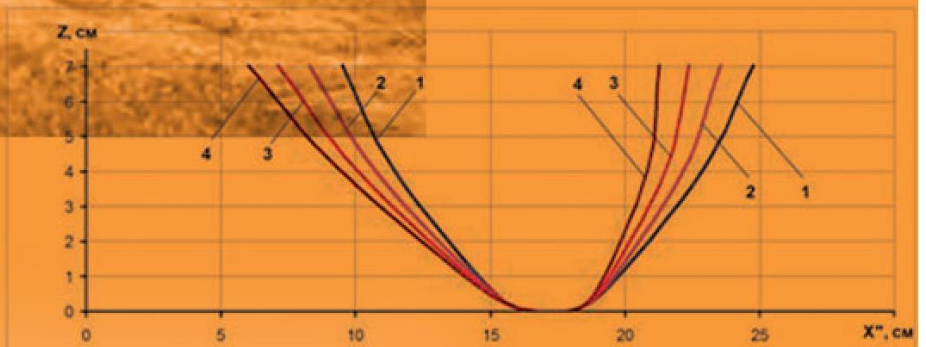
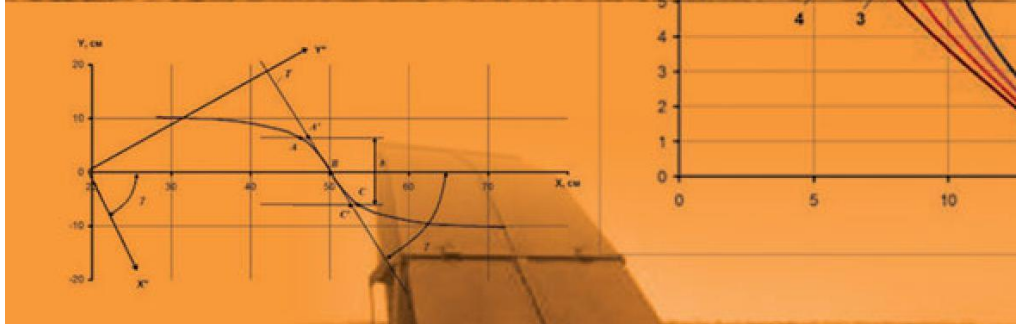
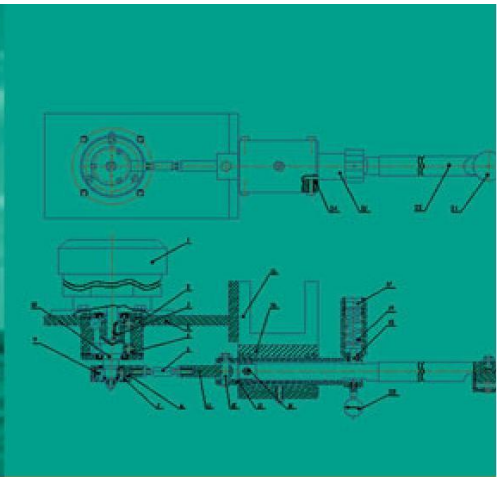
Тех. редактор *М.Н. Рябова*

Корректор *Н.А. Иванов*

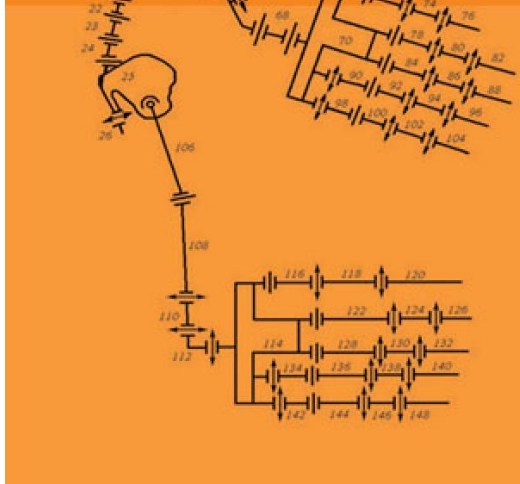
Комп. верстка *Б.З. Хавин*

Подписано в печать 14.11.2013. Формат 60×84/16. Печать трафаретная.
Усл. печ. л. 9,88. Тираж 170 экз. Заказ № 6612.

Издательский центр ОГАУ.
460014, г. Оренбург, ул. Челюскинцев, 18. Тел. (3532) 77-61-43.



$$\begin{cases} N_{cm}^A = N_{cn}^A \\ N_{cm}^B = N_{cn}^B \end{cases}$$



$$\delta^A = \frac{C \cdot \frac{P_{K\theta}^A + P_Z^A}{G_K^A}}{1 - d \cdot \left(\frac{P_{K\theta}^A + P_Z^A}{G_K^A} \right)^3}$$

